

Magnetska svojstva metalo-organskog multiferoika $(C_2H_5NH_3)_2CuCl_4$

Matija Kalanj

Fizički odsjek, PMF, Bijenička cesta 32, 10000 Zagreb

25. siječnja 2016.

Sažetak

Ovaj seminar se bavi proučavanjem magnetskih svojstava praha i listića $(C_2H_5NH_3)_2CuCl_4$ na temperaturama od 2K do 360K te magnetskim poljima do 5T. Spoj ima magnetski fazni prijelaz na 10.2K iznad čega se javlja paramagnetsko ponašanje nezavisnih spinova 1/2 od iona Cu. Iako oblik prijelaza upućuje na antiferomagnetsko uređenje, snažnija magnetska polja uredene sustav u feromagnetsko stanje, što je u skladu s prijašnjim saznanjima da se radi o 2D Heisenbergovom feromagnetu u kojem feromagnetski uredene ravnine međudjeluju antiferomagnetski, što dovodi do dugodosežnog uređenja. Mjerenja na listiću su pokazala jasnu magnetsku anizotropiju spoja.

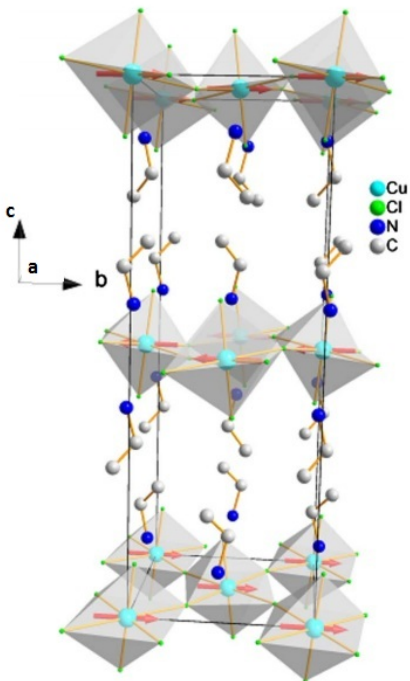
1 Uvod

1.1 Multiferoici

Multiferoici su materijali koji istovremeno imaju dvije ili više od sljedećih spontanih uređenja: feroelektričnost, feromagnetizam, feroelastičnost.[1] U zadnje vrijeme magnetoelektrični multiferoici su privukli dosta pažnje znanstvene zajednice[2]. U ovim materijalima je naročito pogodno ako su magnetizacija i električna polarizacija povezani, što znači da je magnetizaciju moguće mijenjati pomoću električnog polja i obrnuto. Ovo svojstvo multiferoika je bitno zato što u informatičkoj tehnologiji magnetoelektrični materijali mogu naći primjenu u višestanjskim memorijama ili u uređajima koji štede energiju zapisujući informaciju električnim umjesto magnetskim poljem.

Postoje razni materijali koji pokazuju ta svojstva, od oksida među kojima su najpoznatiji: $BiFeO_3$, $TbMnO_3$, $HoMn_2O_5$, $LuFe_2O_4$, $Ni_3B_7O_{13}I$, do metaloorganskih spojeva poput: $[(CH_3)_3NH_2]Mn(HCOO)_3$, $[Mn_3(HCOO)_6](C_2H_5OH)$, $(C_6H_5CH_2CH_2NH_3)_2CuCl_4$ [6] ili $(C_2H_5NH_3)_2CuCl_4$.

1.2 O spoju



Slika 1: Kristalna struktura spoja na 300 K[3].

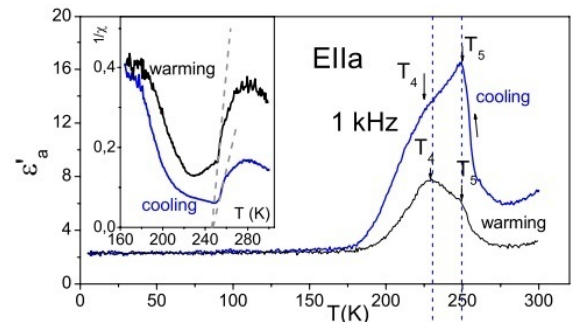
$(C_2H_5NH_3)_2CuCl_4$ je metalo-organski spoj čija se struktura[3] (prikazana na Slici 1) sastoji od slojeva $CuCl_4$ oktaedra na koje su vezani organski lanci.

Uzorak je sintetiziran sporim isparavanjem otopine $CuCl_2$ i soli $C_2H_5NH_3Cl$ u stehiometrijskom omjeru[4]. Difrakcijom X zракama na monokristalu utvrđena je struktura spoja te su podaci prikazani u tablici 1 [5]. Susjedni organski lanci su međusobno okomiti pa nema značajnog preklapanja. Zbog Jahn-Teller efekta [7], koji je čest u Cu^{2+} kompleksima, oktaedri u anorganskoj ravnini su nagnuti, čineći namreškanu ravninu.

$(C_2H_5NH_3)_2CuCl_4$ karakterizira niz električnih faznih prijelaza i jedan magnetski fazni prijelaz. Električni fazni prijelazi su većinom povezani s promjenom u položaju organskih lanaca dok magnetski fazni prijelaz potiče od $Cu-Cl_4$ oktaedara. Orbitale susjednih metalnih iona su međusobno okomite i spinovi koriste Cu-Cl-Cu most za superizmjenu što vodi

do feromagnetskog uređenja ispod 10.2 K u $CuCl_4$ ravnini i slabog antiferomagnetskog uređenja među ravninama $CuCl_4$. Unatoč malom omjeru konstanti vezanja spinova ($\frac{J'}{J} \approx -8 \times 10^{-4}$) unutar ravnina (J) i među ravninama (J'), magnetska susceptibilnost poprima oblik trodimenzionalno uređenog antiferomagnetskog niza feromagnetskih slojeva.

Promatrajući dielektričnu susceptibilnost utvrđeno je da postoji dva odvojena maksimuma na temperaturama nazvanima $T_4 = 232K$ i $T_5 = 247K$ koji se javljaju zbog različitih strukturnih uređenja karakterističnih za ovaj spoj. Analizom inverzne dielektrične susceptibilnosti[3] ε^{-1} u ovisnosti o temperaturi T pokazalo se da spoj iznad T_5 poštije Curie-Weiss zakon te da linearnom ekstrapolacijom ε^{-1} u blizini faznog prijelaza (250 – 255K) siječe x os na temperaturi $T_5 = 247K$ u grijanju i hlađenju. Hlađenjem uzorka od 300 – 5K javlja se velika električna polarizacija $P_a = 18 \mu C/cm^2$ na $T < T_5$. Grafovi prethodnih istraživanja su prikazani na slici 2 i slici 3.

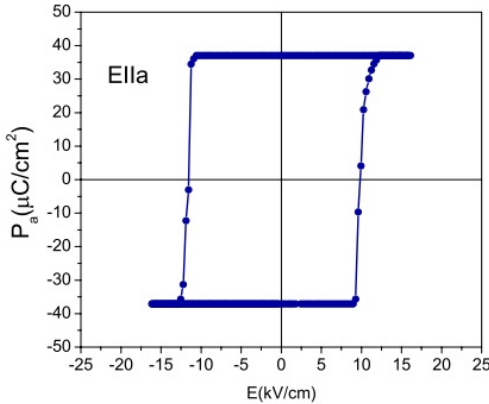


Slika 2: Temperaturna ovisnost dielektrične permitivnosti ϵ'_a o temperaturi u blizini faznog prijelaza [3].

Feroelektrično ponašanje spoja je uočeno promatrajući ovisnost polarizacije P_a o električnom polju E . Slika 4 pokazuje feroelektričnu petlju za monokristalni uzorak $(C_2H_5NH_3)_2CuCl_4$.

Tablica 1: Strukturni parametri na sobnoj temperaturi u Angstremima[5].

	$T = T_{sobna}$
Prostorna grupa	Pbca
a	7.47
b	7.35
c	21.18
V	1162.9



Slika 4: Feroelektrična histereza na 77K [3]

2 Teorijska razmatranja

Rješavanjem Schroedingerove jednadžbe za slobodan atom dobivamo tri kvantna broja koja karakteriziraju stanje elektrona u gibanju oko jezgre. Ta tri kvantna broja su : glavni kvantni broj n , orbitalni kvantni broj l i magnetni kvantni broj m_l . Magnetni dipolni moment m_l je kvantiziran i definiran pomoću:

$$m_l = \mu_B \sqrt{l(l+1)} \quad (1)$$

gdje je μ_B Bohrov magneton. Postoje još dva kvantna broja koja ne možemo dobiti iz Schroedingerove jednadžbe zbog njene nerelativističke prirode već moramo riješiti Diracovu jednadžbu koja u sebi sadrži relativističke efekte. Ta dva kvantna broja su spinski kvantni broj s i magnetni spinski kvantni broj m_s . Spinski magnetski moment je definiran sa :

$$m_s = g_e \mu_B \sqrt{s(s+1)} \quad (2)$$

gdje je g_e g-faktor elektrona i za slobodni elektron on iznosi 2.002319.

Pošto elektron ima magnetski moment koji potiče od spina i magnetski moment koji potiče od njegovog orbitalnog gibanja oko jezgre, zbog spin-orbit vezanja njegova magnetska svojstva će biti definirana ukupnim angularnim momentom:

$$m_j = g_j \mu_B \sqrt{j(j+1)} \quad (3)$$

gdje vrijedi da je $j = l + s$ te g_j Landeov g- faktor.

$$g_j = 1 + \frac{j(j+1) + s(s+1) - l(l+1)}{2j(j+1)} \quad (4)$$

Primjenom magnetskog polja H na materijal javlja se magnetski odziv materijala u obliku magnetizacije M stoga je ukupno magnetsko polje unutar materijala dano sa B :

$$B = H + 4\pi M \quad (5)$$

Kao mjera odziva materijala koriste se dvije veličine: magnetsku susceptibilnost χ i magnetsku permaebilnost μ . Magnetska susceptibilnost je definirana kao :

$$\chi = \frac{\partial M}{\partial H} \quad (6)$$

Ukoliko je ovisnost magnetizacije M o primjenjenom vanjskom polju H linearna, susceptibilnost možemo napisati i kao :

$$\chi = \frac{M}{H} \quad (7)$$

Magnetska permaebilnost μ je definirana pomoću:

$$\mu = \frac{B}{H} \quad (8)$$

Veza između magnetske susceptibilnosti i permaebilnosti je:

$$\mu = 1 + 4\pi\chi \quad (9)$$

Kada materijal koji nema ukupni magnetski moment stavimo u magnetsko polje u njemu će se inducirati struje po Lenzovom pravilu i htjeti poništiti vanjsko polje. Ovakav magnetski odziv materijala zovemo dijamagnetizam i on se može primjetiti u vidu sve negativnije magnetizacije M .

Materijale koji imaju nekakav ukupan magnetski moment koji potječe od nesparenih elektrona zovemo paramagnetiima. Pošto su magnetski momenti unutar paramagnetskog materijala slabo vezani toplinska energija ih nasumično orijentira u prostoru. Primjenom magnetskog polja na takav materijal magnetski momenti se poslože u smjeru polja te broj momenata posloženih u smjeru primjenjenog polja ovisi o jačini vanjskog polja H . Paramagnetska susceptibilnost χ posjeduje i temperaturnu ovisnost koju zovemo Curiev zakon:

$$\chi = \frac{Ng^2J(J+1)\mu_B^2}{3kT} = \frac{C}{T} \quad (10)$$

Kod materijala koji imaju feromagnetski ili antiferomagnetski prijelaz susceptibilnost u paramagnetskom stanju prati Currie-Weissov zakon:

$$\chi = \frac{C}{T - \theta} \quad (11)$$

gdje je $\theta > 0$ za feromagnetsko uređenje ili $\theta < 0$ za antiferomagnetsko uređenje.

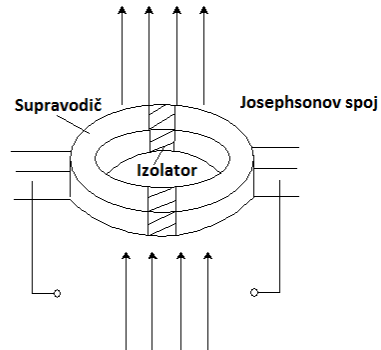
Feromagnetski materijali su materijali koji sadrže feromagnetske domene koje su nasumično orijentirane ako nema primjenjenog vanjskog polja. Primjenom vanjskog magnetskog polja H feromagnetske domene se šire te se domenski zidovi pomiču da bi se minimizirala energija sustava. Domenski zidovi zapinju na defektima unutar materijala uzrokujući nelinearno ponašanje magnetizacije te krivulje histereze. Ovakvi materijali pamte svoju magnetsku povijest.

Antiferomagnetski materijali su posebni po

tome što se magnetski momenti unutar materijala uređuju međusobno antiparalelno. Povećanje vanjskog magnetskog polja H uzrokuje narušavanje takvog magnetskog uređenja te se magnetizacija M ponaša pretežno linearno u ovisnosti o magnetskom polju.

3 Eksperimentalni postav

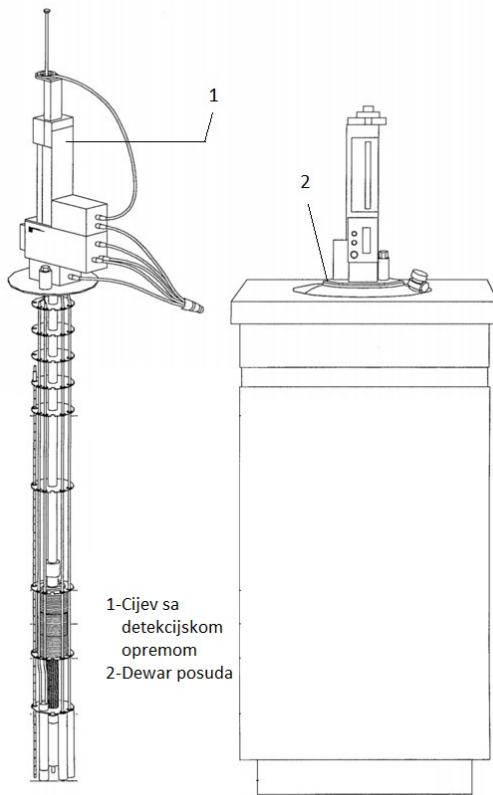
Sva mjerena su izvršena pomoću MPMS magnetometra(Magnetic Property Measurement System). MPMS u sebi sadrži SQUID(Superconducting Quantum Interference Device), koji pretvara induciranu struju u izlazni signal u kojem je sadržana informacija o magnetskom momentu uzorka. SQUID u sebi sadrži Josephsonov spoj koji je prikazan na slici 5. Princip rada Josephsonovog spoja se temelji na tuneliranju Cooperovih parova kroz izolator. Zatvorena strujna petlja koja sadrži Josephsonov spoj je jako osjetljiva na promjenu magnetskog toka kroz petlje te omogućava detekciju jako male promjene magnetskog polja.



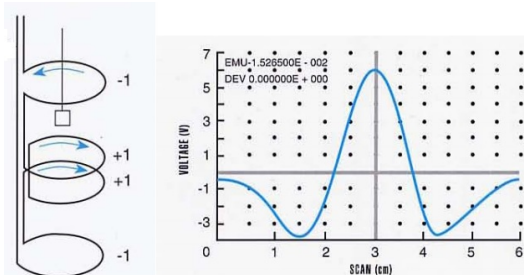
Slika 5: Josephsonov spoj

MPMS SQUID magnetometar možemo podijeliti na dva osnovna dijela: 1- Cijev sa detekcijskom opremom i 2-Dewar posudu. Cijev sa detekcijskom opremom koja je urođena u tekući helij i sastoji se od : jakog supravodljivog magneta koji može stvoriti polje do 5.5T u oba smjera, detekcijske zavojnice, SQUID-a koji je povezan sa detekcijskom zavojnicom i obložen supravodljivim magnetskim štitom koji osigurava da

vanjska magnetska polja nemogu doći do uzorka te prostor za uzorak. Svi supravodljivi dijelovi moraju biti uronjeni u tekući helij(4.2K) kako bi mogli normalno raditi. Uredaj može mjeriti u rasponu temperatura 2 – 400K. Mjerenje se vrši tako da se uzorak pomiče kroz detekcijske supravodljive zavojnice inducira se signal koji je prikazan na slici 7. Slamka u kojoj se nalazi uzorak je homogena pa ne utiče na mjerenja. Detekcijska zavojnica je supravodljiva zavojnica čiji je oblik prikazan na slici 7 te se postavlja u središte supravodljivog magneta da bi bila u što homogenijem magnetskom polju.



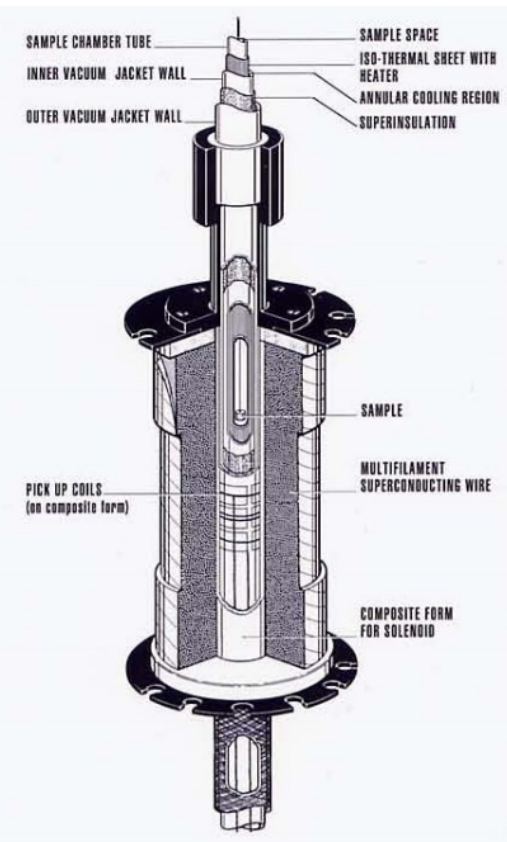
Slika 6: Dijelovi MPMS SQUID magnetometra



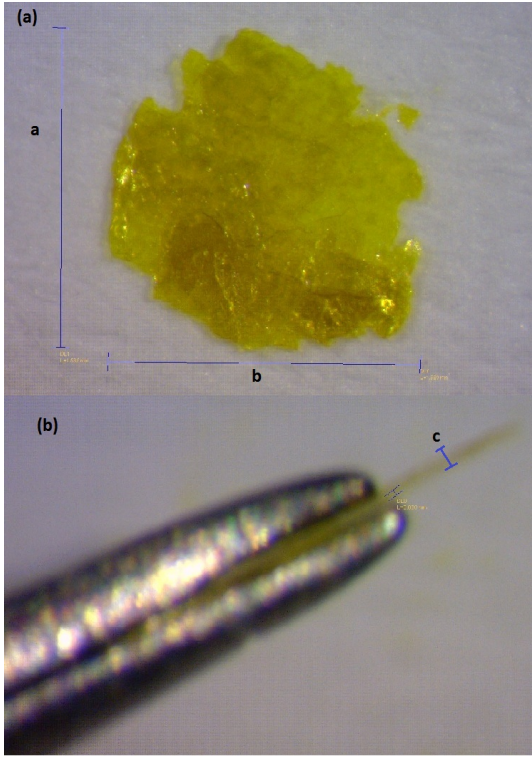
Slika 7: Oblik detekcijske zavojnice i izlazni signal

Supravodljivi magnet je solenoid sa spojenim krajevima i prikazan je na slici 8. Spajanjem vanjskog izvora na solenoid struja kroz zavojnicu stvara magnetsko polje, kada se postigne željeno magnetsko polje krajevi zavojnice se spoje i vanjski izvor se isključi te magnetsko polje postaje konstantno(u perzistentnom modu).

Mjerenja su izvršena na prahu koji smo dobili mljevenjem listića $(C_2H_5NH_3)_2CuCl_4$, prah je stavljen u ampulu a zatim u slamku koja se montira na cijev sa detekcijskom opremom. Mjerenja su izvršena i na listiću $(C_2H_5NH_3)_2CuCl_4$ koji je prikazan na slici 9. Listić, koji je blago savinut, je jako lagano lomljiv, pa smo ga uronili u parafin i pustili da se stvrdne i zatim oblikovali u kvadar radi lakšeg umetanja u slamku.



Slika 8: Presjek supravodljivog magneta



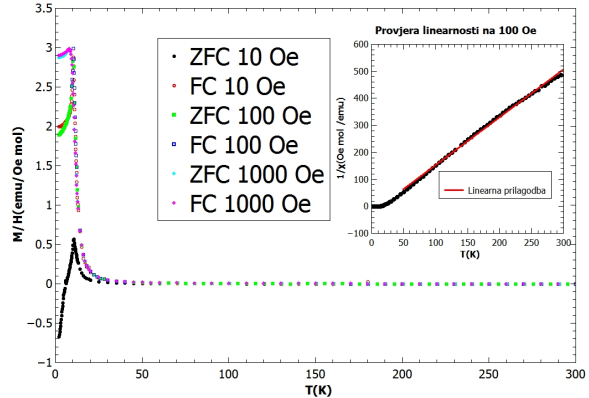
Slika 9: Listić $(\text{C}_2\text{H}_5\text{NH}_3)_2\text{CuCl}_4$ sa prikazanim: (a) a i b smjerom i (b) c smjerom. Dimenzije listića su: $a = 1.588 \text{ mm}$, $b = 1.559 \text{ mm}$ i $c = 0.030 \text{ mm}$

4 Mjerenja i rezultati

Mjerenja su izvršena za prah i listić $(\text{C}_2\text{H}_5\text{NH}_3)_2\text{CuCl}_4$. Mjerena je ovisnost magnetizacije o temperaturi te ovisnost magnetizacije o primjenjenom magnetskom polju. Mjerenje temperaturne ovisnosti magnetizacije je izvršeno mjerenjem magnetizacije uzorka ohlađenog bez prisutnosti magnetskog polja, ovakve krivulje se zovu ZFC krivulje (Zero Field Cooled), te u prisutnosti magnetskog polja - FC krivulje (Field Cooled). Uzorak prvo ohladimo sa sobne temperature bez prisutnosti magnetskog polja zatim mjerimo magnetizaciju grijući uzorak u polju dobivajući ZFC krivulju a nakon toga uzorak hladimo u polju mijereći magnetizaciju dobivajući FC krivulju. Hlađenjem u polju spinovi imaju manju vjerojatnost relaksacije u nasumičnom smjeru jer su zamrznuti u stanju definiranim vanjskim poljem stoga se ZFC i FC kri-

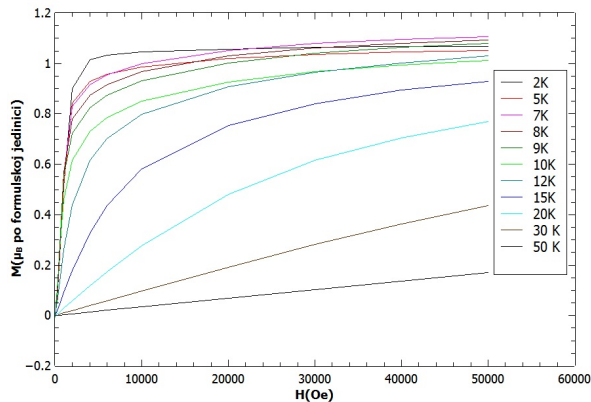
vulje ne preklapaju ispod temperature faznog prijelaza.

4.1 Prah



Slika 10: Ovisnost susceptibilnosti spoja o temperaturi za različita polja i provjera linearnosti inverzne susceptibilnosti na 100 Oe

Iz slike 10 možemo vidjeti da se fazni prijelaz događa na 10.2K. Ispod te temperature spoj ima dugodosežno antiferomagnetsko uređenje dok je na višim temperaturama vidljivo paramagnetsko ponašanje koje prati Curie-Weissov zakon. Prilagodbom Curie-Weissovog zakona na izmjerene podatke dobijemo konstantu $C = (0.46 \pm 0.03) \text{ emu K/(Oe mol)}$ što odgovara spinu $s = \frac{1}{2}$ po Cu ionu uz g-faktor $g = 2.21 \pm 0.08$. Temperatura prijelaza dobivena prilagodbom na Curie-Weissov zakon je $\theta = (-22.7 \pm 4.2)\text{K}$. Ova temperatura je za faktor 2.3 veća od maksimuma faznog prijelaza, što znači da je na toj temperaturi uočljivo slabo međudjelovanje spinova te kako se približavamo maksimumu faznog prijelaza međudjelovanje postaje sve jače. Ovi rezultati su u skladu sa prethodnim istraživanjima [8].



Slika 11: Ovisnost magnetizacije spoja o polju za različite temperature

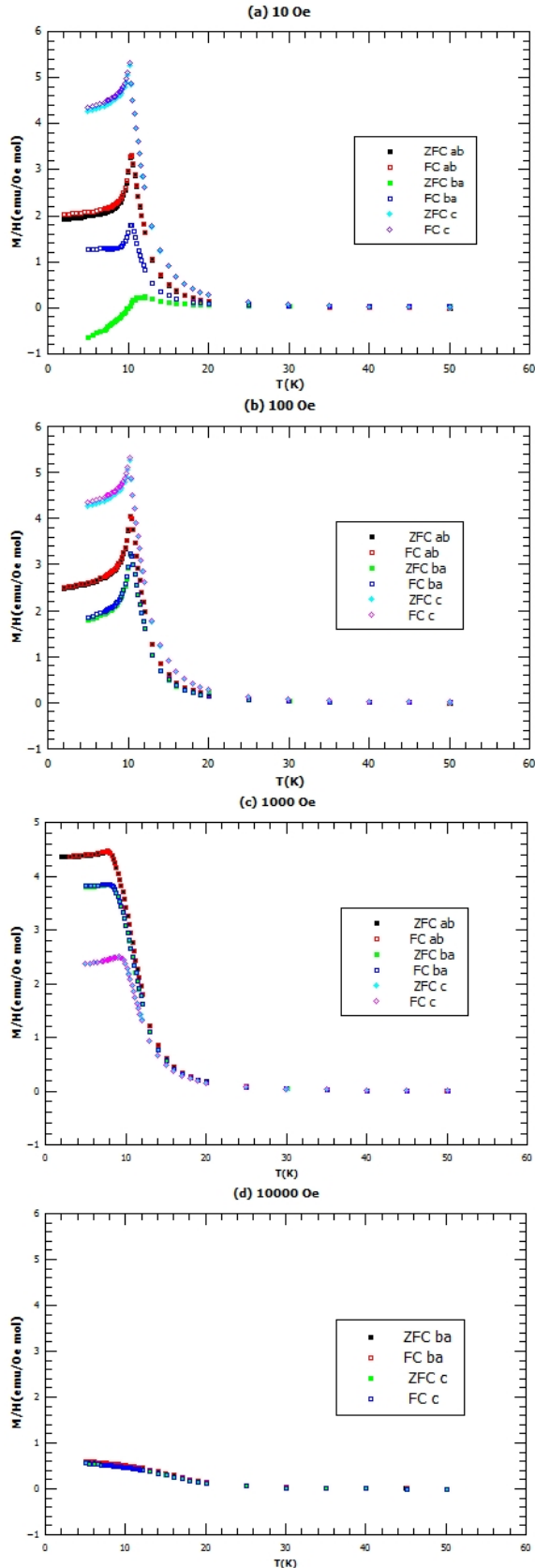
Mjeranjem ovisnosti magnetizacije o primjenjenom polju na različitim temperaturama možemo vidjeti jasno feromagnetsko ponašanje na temperaturama do 10K (objašnjenje je dano u nastavku). Magnetizacija na 2K postiže saturiranu vrijednost $M_S = 1.05\mu_B$ na polju od 10000Oe, što je u skladu sa teoretskim očekivanjima za Cu ion. Nakon 10K sve je slabije feromagnetsko uređenje i spoj počinje pokazivati svoju paramagnetsku prirodu gdje na 50K krivulja poprima gotovo linearan oblik.

4.2 Listić

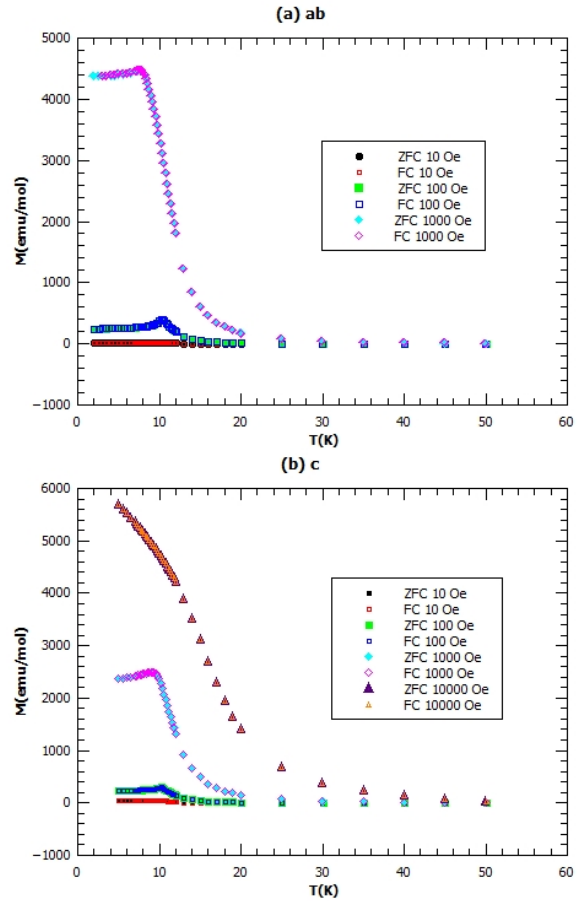
Mjerenja izvršena na listiću su napravljena kao kod praha ali u sva tri smjera. Mjerenja je ovisnost magnetizacije o temperaturi pri fiksnim poljima. Rezultati mjerenja su prikazani kao ovisnost susceptibilnosti i magnetizacije na fiksnim poljima za različite smjerove o temperaturi i kao ovisnosti magnetizacije za različite smjerove i temperature o primjenjenom magnetskog polju.

Iz slike 12 možemo primjetiti razliku u smjerovima na manjim vrijednostima polja te prisutnost šiljka što je karakteristično za antiferomagnete. Nagli pad susceptibilnosti nakon temperature faznog prijelaza je uzrokovan antiparalelnom orijentacijom spinova. Veća polja mogu okrenuti spinove u istom smjeru i na taj način izgladiti šiljak. Na 1000Oe i na 10000Oe krivulja za smjer polja c padne ispod krivulja a i b . Uzrok

tome je način magnetskog uređenja i anizotropija spoja. Na manjim poljima je lakše okrenuti spinove za mali kut u smjeru c nego u smjerovima a i b . Na većim poljima je teže okrenuti spinove u smjeru polja c nego u smjerovima a i b . Polje od 10000Oe je toliko jako da se spinovi okreću gotovo nezavisno o usmjerenu listića.



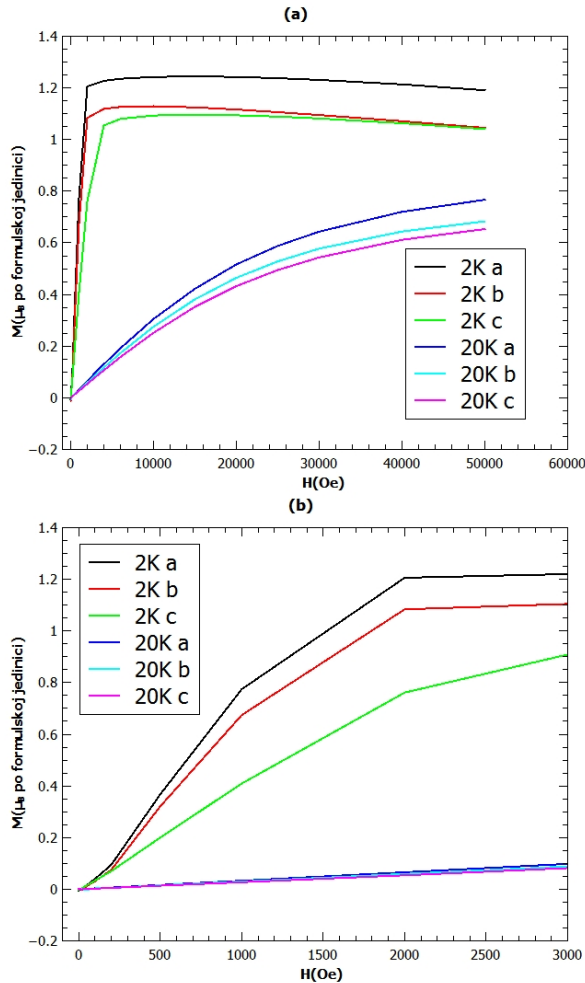
Slika 12: Ovisnost susceptibilnosti o temperaturi na poljima od: (a) 10 Oe, (b) 100 Oe, (c) 1000 Oe i (d) 10000 Oe za različite smjerove



Slika 13: Ovisnost magnetizacije o temperaturi u: (a) ab ravnini, (b) c smjeru za različita polja

Iz slike 13 možemo vidjeti da magnetizacija u *ab* ravnini raste puno brže povećanjem polja nego magnetizacija u *c* smjeru. Ovakav rezultat dodatno potvrđuje pretpostavku o magnetskoj anizotropiji spoja i objašnjava pad krivulje susceptibilnosti u *c* smjeru ispod krivulja susceptibilnosti u *a* i *b* smjeru na višim poljima.

Mjerena je i ovisnost magnetizacije o primjenjenom magnetskom polju na različitim temperaturama za različite smjerove.



Slika 14: Ovisnost magnetizacije o polju u različitim smjerovima za temperature od 2K i 20K (a) u normalnom prikazu i (b) u uvećanom prikazu

Mjerena magnetizacija ispod temperature faznog prijelaza (2K) postiže saturiranu vrijednost na malim poljima te je dobro vidljiva razlika u smjerovima. Oblik krivulja je feromagnetski. Unatoč tome što je interakcija između ravnina antiferomagnetska, velika polja okrenu spinove na susjednim ravninama u istom smjeru što nam daje feromagnetski signal. Pošto je listić uronjen u parafin, koji je dijamagnet, saturirana vrijednost magnetizacije pada

povećanjem polja.

Magnetizacija iznad faznog prijelaza (20K) sporije raste zbog paramagnetskog ponašanja spoja na tim temperaturama i zbog dijamagnetskog doprinosa od parafina.

5 Zaključak

Proučena su magnetska svojstva praha i listića $(C_2H_5NH_3)_2CuCl_4$. Spoj doživljava fazni prijelaz na 10.2K pokazujući antiferomagnetsko uređenje na nižim temperaturama i paramagnetsko uređenje na višim temperaturama. U temperaturnom području oko faznog prijelaza spoj pokazuje karakteristike dvodimenzionalnog Heisenbergovog feromagneta sa dominantnim feromagnetskim interakcijama unutar ravnina, kako se približavamo temperaturi faznog prijelaza ovo ponašanje je modificirano dominantnim antiferomagnetskim interakcijama između ravnina prelazeći u trodimenzionalno antiferomagnetsko uređenje feromagnetskih slojeva koje se lako preusmjeri relativno malim vanjskim magnetskim poljem. Potvrđena je magnetska anizotropija listića unatoč savinutoj makroskopskoj strukturi samog listića te feromagnetsko uređenje na velikim magnetskim poljima ispod temperature faznog prijelaza.

6 Zahvala

Samostalni seminar iz istraživanja u fizici je izrađen u Laboratoriju za istraživanje magnetskih i električnih pojava na Fizičkom odjelu PMFa u Zagrebu. Posebno se zahvaljujem svome mentoru, Doc. dr. sc. Damiru Pajiću na uloženom strpljenju, metodičnosti i trudu u radu samnom.

Literatura

- [1] Nicola A. Spaldin, Magnetic materials Fundamentals and application

- [2] R.Ramesh,Nature(London) 461,1218(2009)
- [3] B.Kundys, A.Lappas, M. Viret, V.Kapustianyk, V.Rudyk, S.Semak, Ch.Simon, I.Bakaimi; Physical Review B 81 (2010)224434
- [4] Sintezu je obavila Mirta Rubčić s Kemijskog odsjeka PMF, unutar projekta FerMaEl
- [5] J.P.Steadman and R.D.Willett; Chem.Phys 44 39 (1966)
- [6] Alexey O.Polyakov, Anne H. Arkenbout, Jacob Baas, Graeme R.Blake, Auke Meetsma, Antonio Caretta, Paul H.M. van Loosdrecht, Thomas T.M.Palstra; Chemistry of materials (2012),24,133-139
- [7] Jun Ding, HaiSheng Li, LiWei Wen, XiuBao Kang, HaiDong Li, JianMin Zhang; Journal of Magnetism and Magnetic Materials 346 (2013) 91-95
- [8] L.J. De Jongh, W.D. Van Amstel and A.R.Miedema; Physica(Amsterdam) 58,277(1972)